

УДК 614.8

## ОПРЕДЕЛЕНИЕ ХАРАКТЕРИСТИК МЕТАЛЛОГИДРИДНЫХ СИСТЕМ В ПРОЦЕССЕ ИХ НАГРЕВА

**Ю.П. Ключка, ст. науч. сотр., к.т.н.,**

**В.И. Кривцова, профессор, д.т.н.,**

**А.И. Ивановский, ст. науч. сотр., к.т.н.**

**Национальный университет гражданской защиты Украины, г. Харьков**

**Аннотация.** Экспериментальным путем получены зависимости давления водорода в патроне с гидридом при его нагревании. Показано, что экспериментальные данные соответствуют теоретическим значениям с погрешностью  $\approx 6\%$ .

**Ключевые слова:** водород, гидрид, давление, время, температура, эксперимент.

## ВИЗНАЧЕННЯ ХАРАКТЕРИСТИК МЕТАЛОГІДРИДНИХ СИСТЕМ У ПРОЦЕСІ ЇХ НАГРІВАННЯ

**Ю.П. Ключка, ст. наук. співр., к.т.н.,**

**В.І. Кривцова, професор, д.т.н.,**

**О.І. Івановський, ст. наук. співр., к.т.н.**

**Національний університет цивільного захисту України, м. Харків**

**Анотація.** Експериментальним шляхом отримано залежності тиску водню в патроні з гідридом при його нагріванні. Показано, що експериментальні дані відповідають теоретичним значенням із похибкою  $\approx 6\%$ .

**Ключові слова:** водень, гідрид, тиск, час, температура, експеримент.

## DETERMINATION OF METAL HYDRIDE SYSTEMS CHARACTERISTICS WHILE HEATING

**Yu. Kluchka, Senior Researcher, Candidate of Technical Sciences,**

**V. Krivtsova, Professor, Doctor of Technical Sciences,**

**A. Ivanovskiy, Senior Researcher, Candidate of Technical Sciences,**

**National University of Civil Defence of Ukraine, Kharkiv**

**Abstract.** Experimental dependence of the pressure of hydrogen in the hydride cartridge when it is heated is obtained. Experimental data prove the theoretical values with an accuracy of  $\approx 6\%$ .

**Key words:** hydrogen, hydride, pressure, time, temperature, the experiment.

### Введение

Одним из способов хранения водорода в автомобиле является хранение в связанном состоянии, в частности в форме гидридов интерметаллидов [1, 2]. Наиболее перспективным и изученным является интерметаллид  $\text{LaNi}_5$  [2].

Одной из проблем использования этих систем является их пожароопасность, обусловленная свойствами водорода и самой системой хранения. В связи с этим определение изменения характеристик металлогидридного патрона с водородом и времени до его разрушения под воздействием внешнего источника тепла является актуальной задачей.

## Анализ публикаций

В работах [2, 3] приведены характеристики металлогидридных систем, динамика выделения водорода из гидрида, а также ряд их теплофизических характеристик в режиме хранения.

В работе [4] были получены теоретические оценки времени до разрушения насыщенных водородом гидридных систем под воздействием повышенной внешней температуры, а также получены дискретные модели зависимости давления в системе под воздействием температуры окружающей среды, характера ее изменения, а также степени насыщения гидрида водородом. В работе [5] приведены экспериментальные значения давления в гидридном патроне при его нагревании в открытом пламени. В работе [6] приведен результат эксперимента по нагреву гидридного патрона до момента его разрушения.

Однако в работах [5, 6] отсутствуют результаты экспериментальных исследований, которые бы позволили судить об адекватности приведенных моделей [4] применительно к низким тепловым потокам ( $q < 30 \text{ кВт}/\text{м}^2$ ).

## Цель и постановка задачи

Целью работы является получение экспериментальным путем зависимостей давления водорода в патроне с металлогидридом  $\text{LaNi}_5\text{H}_x$  при его нагревании и их сравнение с теоретическими значениями, полученными в соответствии с работой [4].

## Проведение эксперимента

В процессе проведения эксперимента исследовалась динамика изменения температуры на внешней стороне оболочки гидридного патрона и давления водорода в нем при воздействии на гидридный патрон тепловых потоков.

Нагрев гидридного патрона осуществлялся с помощью никромовой нити диаметром 0,8 мм и удельным сопротивлением 2,2 Ом/м. При этом было проведено три серии экспериментов с подводимым напряжением к обмотке 70 В, 110 В и 150 В. Для измерения температур был использован прибор измерительный и регулирующий РТЭ-4.8-11 «Эргос» с термопарой типа ТХК. Давление в

патроне измерялось с помощью преобразователя давления типа МП, что позволяло регистрировать информацию об изменении давления с помощью персонального компьютера.

Для проведения эксперимента были использованы гидридные патроны диаметром 38 мм и длиной 240 мм, выполненные из стали и заполненные интерметаллидом  $\text{LaNi}_5$  в количестве 800 г (рис. 1).



Рис. 1. Фото гидридных патронов

Связь между МВА8, РТЭ-4.8 и компьютером осуществляется через преобразователи интерфейсов «Овен» АС4 (стандарт RS-485) от МВА8 и АС3-М (стандарт RS-485) от РТЭ-4.8. Общий вид стенда показан на рис. 2.



Рис. 2. Внешний вид стенда

Подготовка гидридного патрона к эксперименту проводилась согласно схеме, приведенной на рис. 3:

– к внешней оболочке патрона 1 крепилась термопара 2, и патрон в цилиндрической его части обматывался электроизоляционной листовой слюдой 3;

- поверх электроизоляционной слюды наматывалась никромовая проволока 4;
- поверх никромовой обмотки наматывался асбестовый шнур 5;
- к обмотке подключался силовой кабель 6;
- гидридный патрон теплоизолировался с помощью асбестокартона 7;
- гидридный патрон 1 с интерметаллидом 8 насыщался водородом (после соответствующего процесса активации [7]).

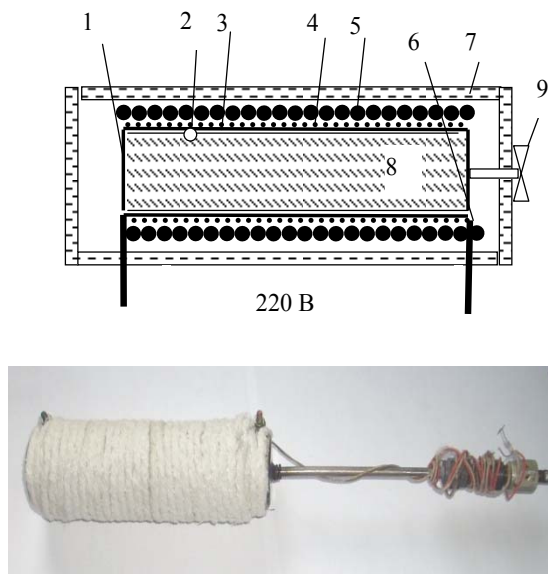


Рис. 3. Схема и фото гидридного патрона, подготовленного к эксперименту: 1 – гидридный патрон; 2 – термопара; 3 – электроизоляционная слюда патрона; 4 – никромовая спираль; 5 – асбестовый шнур; 6 – силовой электрокабель; 7 – асбестокартон; 8 – интерметаллид; 9 – вентиль баллона

В качестве примера на рис. 4 приведены результаты трех экспериментов ( $U=70$  В) по определению зависимости давления водорода в патроне при его нагревании ( $P_i$ ,  $i \in [1;3]$ ), усредненное значение давления ( $P_c$ ), а также относительное отклонение экспериментальных значений давления водорода в патроне от усредненного значения ( $\zeta_i$ ,  $i \in [1;3]$ ).

Из рисунка следует, что максимальное отклонение экспериментальных значений давления водорода в патроне от усредненного значения составляет около 9 %. Это можно объяснить погрешностью определения давления и температуры, погрешностью определения насыщенности гидрида на начальном

этапе, а также несколько отличающимися характеристиками  $\text{LaNi}_5$  в патронах.

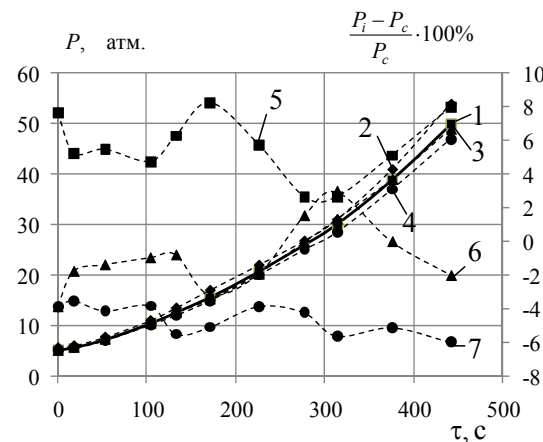


Рис. 4. Зависимость давления водорода в патроне при его нагревании и относительное отклонение экспериментальных значений давления водорода в патроне от усредненного значения: 1 – усредненное значение давления водорода в патроне ( $P_c$ ); 2 –  $P_1$ ; 3 –  $P_2$ ; 4 –  $P_3$ ; 5 – относительное отклонение значения в эксперименте №1 ( $\zeta_1$ ); 6 –  $\zeta_2$ ; 7 –  $\zeta_3$

На рис. 5 приведены усредненные результаты серии экспериментов по определению зависимости температуры на стенке патрона и давления водорода в патроне при его нагревании.

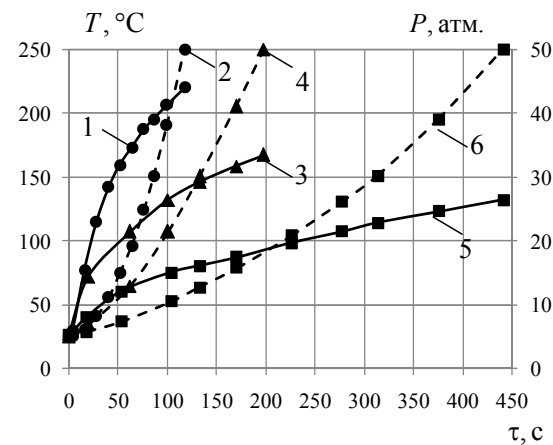


Рис. 5. Зависимость температуры на стенке патрона и давления водорода в патроне при его нагревании: 1 –  $T_{31}$ ; 2 –  $P_{31}$ ; 3 –  $T_{32}$ ; 4 –  $P_{32}$ ; 5 –  $T_{33}$ ; 6 –  $P_{33}$ ; 1, 2 – напряжение на обмотке  $U=150$  В; 3, 4 –  $U=110$  В; 5, 6 –  $U=70$  В

Из рис. 5 следует, что существенное влияние на значения температуры и давления оказывает напряжение на обмотке, т.е. тепловой поток, подводимый к патрону.

На рис. 6 приведены зависимости относительной погрешности определения давления от времени.

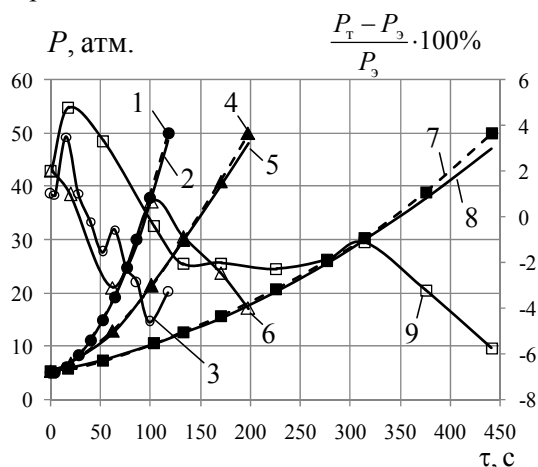


Рис. 6. Относительная погрешность расчетных значений давления водорода в патроне от времени: 1 –  $P_{31}$ ; 2 –  $P_{t1}$ ; 3 –  $\xi_1$ ; 4 –  $P_{32}$ ; 5 –  $P_{t2}$ ; 6 –  $\xi_2$ ; 7 –  $P_{33}$ ; 8 –  $P_{t3}$ ; 9 –  $\xi_3$

Из рис. 6 следует, что максимальное значение относительной погрешности составляет порядка 6 %, что позволяет говорить об адекватности модели, полученной в работе [4].

Разницу экспериментального и теоретического давления разрушения можно объяснить погрешностью определения насыщенности гидрида на начальном этапе, погрешностями определения давления и температуры, а также принятыми допущениями в модели [4].

### Выводы

Экспериментальным путем получены зависимости давления водорода в патроне с гидридом  $\text{LaNi}_5\text{H}_x$  при воздействии на него тепловых потоков  $q < 30 \text{ кВт/м}^2$ . Полученные экспериментальные значения позволили сделать вывод об адекватности теоретической модели, приведенной в [4]. Показано, что погрешность расчетных значений в соответствии с [4] составляет не более 6 %.

### Литература

- Ключка Ю.П. Особенности использования водорода на автомобильном транспорте / В.И. Кривцова, Ю.П. Ключка // Проблемы пожарной безопасности. – 2009. – № 26. – С. 49–61.
- Мищенко А.И. Применение водорода для автомобильных двигателей / А.И. Мищенко. – К.: Наукова думка, 1984. – 284 с.
- Кривцова В.И. Теоретические и экспериментальные пути создания систем хранения и подачи водорода на основе твердых веществ для двигательных и энергетических установок летательных аппаратов: автореф. дис. на соискание учён. степ. д-ра техн. наук: спец. 05.07.05 «Двигатели и энергоустановки летательных аппаратов» / В.И. Кривцова. – Х., 2001. – 32 с.
- Ключка Ю.П. Математическая модель равновесного состояния в системе хранения водорода на основе гидридов интерметаллидов / Ю.П. Ключка // Системи управління, навігації та зв'язку. – 2011. – Вип. 4(20). – С. 86–88.
- Ключка Ю.П. Определение времени разрушения гидридного патрона, обусловленного изменением температурных параметров окружающей среды / Ю.П. Ключка // Науковий вісник будівництва. – 2011. – № 68. – С. 77–80.
- Борисенко В.Г. Определение времени разрушения баллона с водородом, обусловленного изменением температурных параметров окружающей среды / В.Г. Борисенко, В.И. Кривцова, Ю.П. Ключка // Проблемы пожарной безопасности. – 2010. – № 27. – С. 83–96.
- Водород. Свойства, получение, хранение, транспортировка, применение: справочное издание / Д.Ю. Гамбург, В.П. Семенов, Н.Ф. Дубовников и др.; под ред. Д.Ю. Гамбурга, И.Ф. Дубовнина. – М.: Химия, 1989. – 672 с.

Рецензент: Ф.И. Абрамчук, профессор, д.т.н., ХНАДУ.

Статья поступила в редакцию 12 марта 2012 г.